



# БИООРГАНИЧЕСКАЯ ХИМИЯ

том 16 \* № 6 \* 1990

УДК 547.182.54'17

© 1990 г.

*Е. Н. Олсуфьев, Б. В. Розинов \**

## ПОЛУЧЕНИЕ И МАСС-СПЕКТРОМЕТРИЧЕСКОЕ ИЗУЧЕНИЕ N-ЦИКЛОАЛКИЛЬНЫХ ПРОИЗВОДНЫХ КАРМИНОМИЦИНА, ДАУНОРУБИЦИНА И ИХ АНАЛОГОВ

*ВНИИ по изысканию новых антибиотиков АМН СССР, Москва;*

*\*Институт биоорганической химии им. М. М. Шемякина АН СССР, Москва*

Конденсацией карминомицина или даунорубицина с глутаровым диальдегидом в присутствии цианоборгидрида натрия получены 3'-дезамино-3'-пиперидинокарминомицин, 3'-дезамино-3'-пиперидинодаунорубицин и их (13-R,S)-дигидроаналоги. Для синтеза 3'-дезамино-3'-пиперидино- или 3'-дезамино-3'-морфолинопроизводных 14-гидроксикарминомицина и доксорубицина использованы 13-диметилкетали 14-бромкарминомицина и 14-бромудаунорубицина, которые в реакции восстановительного алкилирования с глутаровым или гликоловым диальдегидом не дают побочных 13-дигидропроизводных. Деблокирование 13-CO-группы с последующим замещением атома брома при C14 на гидроксигруппу у 13-диметилкеталей 14-брому производных 3'-дезамино-3'-пиперидино- и 3'-дезамино-3'-морфолинокарминомицина или даунорубицина приводило к соответствующим 14-гидроксианалогам. Установлено, что в условиях вторично-эмиссионной масс-спектрометрии полученных соединений происходит их восстановление, причем в случае производных даунорубицина в большей степени, чем в случае производных карминомицина.

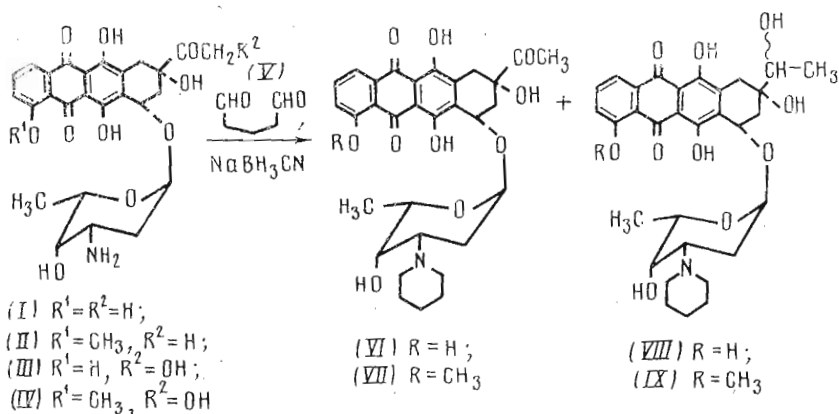
Получение и изучение различных полусинтетических аналогов природных антрациклиновых антибиотиков карминомицина (I) и даунорубицина(дауномицина, рубомицина) (II) — одно из перспективных направлений создания новых лекарственных препаратов с высокой противоопухолевой активностью.

При введении гидроксильной группы в положение C14 антибиотиков (I) и (II) противоопухолевая активность не снижается, а часто даже усиливается. Так, например, 14-гидроксикарминомицин (III) не уступает карминомицину (I) по противоопухолевому действию в эксперименте на животных [1], и 14-гидроксидаунорубицин (доксорубицин, адриамицин) (IV) превосходит (I) и (II) при лечении плотных форм опухолей человека [2].

Согласно литературным данным, введение различных алкильных заместителей в аминогруппу указанных антибиотиков обычно не приводит к потере противоопухолевой активности. Вместе с тем у некоторых производных появляются новые ценные свойства. Для многих N-алкильных аналогов отмечено снижение кардиотоксичности [3] и мутагенности [4] по сравнению с исходными антибиотиками. Некоторые циклоалкильные производные интересны тем, что избирательно подавляют синтез РНК по сравнению с синтезом ДНК в клетках лейкоза L1210 в отличие от немодифицированных антибиотиков, которые подавляют синтез РНК и ДНК примерно в равной степени [5].

В настоящей работе получены новые производные карминомицина и 14-гидроксикарминомицина и изучены их масс-спектры в сравнении с масс-спектрами аналогичных производных даунорубицина.

Взаимодействие карминомицина (I) или даунорубицина (II) с избытком глутарового диальдегида (V) в присутствии эквивалента цианоборгидрида натрия нами приготовлены 3'-дезамино-3'-пиперидинокарминомицин (VI) и 3'-дезамино-3'-пиперидинодаунорубицин (VII) с выходом 58 и 52% соответственно. Как и следовало ожидать, в результате побочной



реакции восстановления 13-СО-группы образовывались небольшие количества 3'-дезамино-3'-пиперидино-(13-*R,S*)-дигидрокарминомицина (VIII) и 3'-дезамино-3'-пиперидино-(13-*R,S*)-дигидродаунорубицина (IX) — 4 и 10% соответственно. Синтез производных (VII) и (IX) по той же схеме, но в несколько иных условиях и с более низкими выходами описан ранее [3, 5].

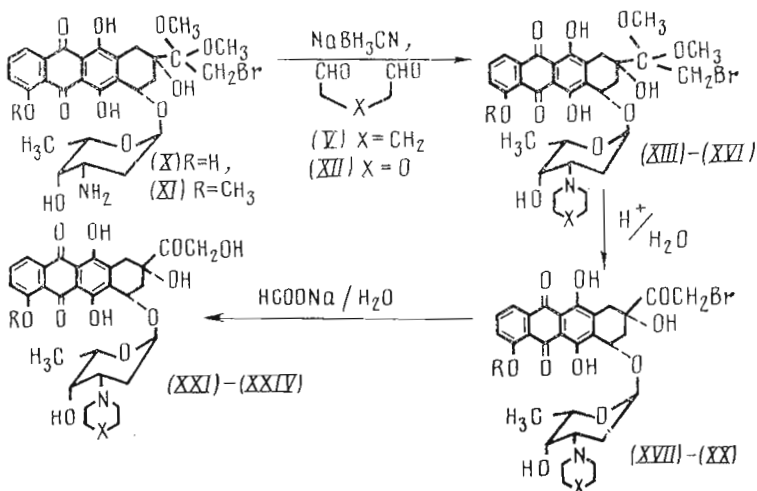
Образование побочных производных со спиртовой группой в условиях реакции восстановительного алкилирования антрациклиновых антибиотиков отмечалось ранее [3, 6, 7]. Чтобы этого избежать при синтезе N-алкильных аналогов 14-гидроксикарминомицина и доксорубицина, мы использовали в реакции восстановительного алкилирования не сами антибиотики (III) и (IV), а полученные ранее из (I) и (II) синтоны 14-бром-13-диметилкетали карминомицина (X) и даунорубицина (XI) [8]. В этих соединениях кетонная группа защищена, а атом брома малореакционноспособен. Взаимодействием последних с избытком диальдегидов (V) или (XII) в присутствии цианоборгидрида натрия были получены с высокими выходами 3'-дезамино-3'-пиперидино-13-диметилкетали 14-бромкарминомицина (XIII) и 14-бромдаунорубицина (XV), а также 3'-дезамино-3'-морфолино-13-диметилкетали 14-бромкарминомицина (XIV) и 14-бромдаунорубицина (XVI).

Избирательный кислотный гидролиз полученных соединений в условиях, близких к подобранным нами ранее (0,1 н. HBr, 37° С, 5 ч) [8], приводил к соответствующим 14-бромкетонам: 3'-дезамино-3'-пиперидино-14-бромпроизводным карминомицина (XVII) и даунорубицина (XIX), а также 3'-дезамино-3'-морфолино-14-бромпроизводным карминомицина (XVIII) и даунорубицина (XX).

Известно, что атом брома в 14-бромкарминомицине и 14-бромдаунорубицине может быть замещен на гидроксильную группу водным раствором карбоната [1] или формиата [9] натрия. Второй вариант предпочтительнее, так как меньше образуется побочных продуктов. Ранее нами было показано, что 14-формилосикарминомицин и 14-формилосидаунорубицин — весьма неустойчивые соединения и легко гидролизуются водой до соответствующих 14-гидроксипроизводных (III) и (IV) [10]. В результате формиатного гидролиза соединений (XVII)–(XX) получены 3'-дезамино-3'-пиперидино-14-гидроксипроизводные карминомицина (XXI) даунорубицина (XXIII), а также 3'-дезамино-3'-морфолино-14-гидроксипроизводные карминомицина (XXII) и даунорубицина (XXIV) \*.

Выходы соединений (XXI)–(XXIV) в расчете на синтоны (X) и (XI) составили 46, 38, 49 и 40% соответственно. Строение полученных соединений вытекает из способа синтеза и подтверждается аналитическими и спектральными данными.

\* Соединение (XXIV) получено ранее взаимодействием доксорубицина (IV) с гликолевым диальдегидом в присутствии цианоборгидрида натрия с выходом 30% [11] или с 2,2'-динодиэтиловым эфиrom с выходом 85% [12]; следует отметить, что исходный доксорубицин (IV), получают в несколько стадий из даунорубицина (II) с выходом 35% [13].



$R=H$ :  $X=CH_2$  (XIII, XVII, XXI),  $X=O$  (XIV, XVIII, XXII);  
 $R=CH_3$ :  $X=CH_2$  (XV, XIX, XXIII);  $X=O$  (XVI, XX, XXIV).

Для ИК-спектров 3'-дезамино-3'-пиперидинопроизводных карминомицина (VI) и даунорубицина (VII), так же как и для исходных антибиотиков (I) и (II), характерно поглощение 13-C-O-группы при  $1720\text{ см}^{-1}$  и хинонных групп при  $1610$  и  $1620$ ,  $1590\text{ см}^{-1}$ . Восстановление 13-C-O-группы до 13-гидроксигруппы в соединениях (VIII) и (IX) или ее кетализация в соединениях (X), (XI), (XIII), (XIV) сопровождается исчезновением полосы при  $1720\text{ см}^{-1}$  и сохранением полос при  $1610\text{ см}^{-1}$  (для аналогов карминомицина) и  $1620$ ,  $1590\text{ см}^{-1}$  (для аналогов даунорубицина).

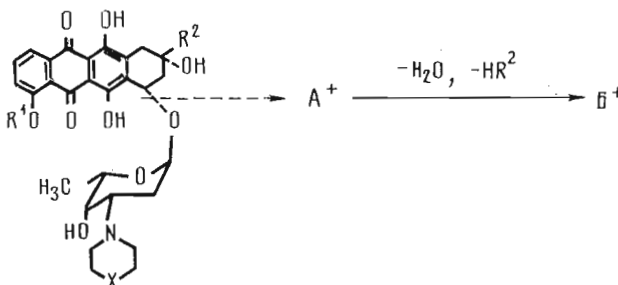
Для производных карминомицина и даунорубицина, имеющих такие заместители, как Br или OH-группы в положении C14 (XVII) — (XXIV), характерно смещение полосы 13-CO-группы в коротковолновую область на  $15$ — $20\text{ см}^{-1}$  (до  $1735$ — $1740\text{ см}^{-1}$ ) по сравнению с незамещенными соединениями (I), (II), (VI) и (VII), что согласуется с ранее полученными результатами [8, 10].

В  $^1\text{H}$ -ЯМР-спектрах N-циклоалкильных производных, содержащих пиперидиновое или морфолиновое кольцо, наблюдаются сложные мультиплеты в области  $2,7$ — $4,5\text{ м. д.}$ , интерпретация которых практически невозможна. Не исключено образование в условиях восстановительного алкилирования и соединений с разомкнутой цепью, например с гидроксиpentильным или гидроксиэтилоксиэтильным радикалом. Очевидно, что  $^1\text{H}$ -ЯМР-спектры этих соединений и спектры N-циклоалкильных производных будут очень близки. Поэтому для доказательства структуры полученных соединений нами был использован также метод масс-спектрометрии.

Ранее антрациклические антибиотики обычно исследовали масс-спектрометрией полевой десорбции [11, 14], и совсем недавно появилось сообщение [15], в котором описано использование для антрациклических антибиотиков масс-спектрометрии с бомбардировкой ускоренными атомами (БУА). Мы также применили этот метод для подтверждения структуры аналогов даунорубицина, содержащих фрагмент инозина [7].

Масс-спектры соединений (VI)—(IX), (XXI)—(XXIV) характеризуются пиками молекулярных ионов различной степени гидрирования (от одного до четырех атомов водорода, см. таблицу). Восстановление аналогов карминомицина (например, соединения (VI), рис. 1) в глицериновой матрице при бомбардировке ускоренными атомами Xe протекает в меньшей степени, чем восстановление аналогов даунорубицина (например, соединения (VII), рис. 2).

Это хорошо согласуется с тем фактом, что карминомицин и его аналоги



(VI)–(IX), (XXI)–(XXIV)

Схема и таблица масс-спектрометрического изучения (БУА) N-циклоалкильных производных карминомицина, даунорубицина и их аналогов

Номер соединения	Соединение			Молекулярная масса ( $M$ )	Наблюдаемые ионы, $m/z$	Типы пиков
	R¹	R²	X			
(VI)	H	COCH <sub>3</sub>	CH <sub>2</sub>	581	583	( $M+2H$ ) <sup>+</sup>
(VII)	CH <sub>3</sub>	COCH <sub>3</sub>	CH <sub>2</sub>	595	597, 598, 599	( $M+2H$ ) <sup>+</sup> , ( $M+3H$ ) <sup>+</sup> , ( $M+4H$ ) <sup>+</sup>
(VIII) *	H	CHONCH <sub>3</sub>	CH <sub>2</sub>	583	583, 584	( $M$ ) <sup>+</sup> , ( $M+H$ ) <sup>+</sup>
(IX)	CH <sub>3</sub>	CHONCH <sub>3</sub>	CH <sub>2</sub>	597	598, 599, 600	( $M+H$ ) <sup>+</sup> , ( $M+2H$ ) <sup>+</sup> , ( $M+3H$ ) <sup>+</sup>
(XXI)	H	COCH <sub>2</sub> OH	CH <sub>2</sub>	597	598, 599, 600	( $M+H$ ) <sup>+</sup> , ( $M+2H$ ) <sup>+</sup> , ( $M+3H$ ) <sup>+</sup>
(XXII)	H	COCH <sub>2</sub> OH	O	599	600	( $M+H$ ) <sup>+</sup>
(XXIII)	CH <sub>3</sub>	COCH <sub>2</sub> OH	CH <sub>2</sub>	611	612, 613, 614	( $M+H$ ) <sup>+</sup> , ( $M+2H$ ) <sup>+</sup> , ( $M+3H$ ) <sup>+</sup>
(XXIV)	CH <sub>3</sub>	COCH <sub>2</sub> OH	O	613	614	( $M+H$ ) <sup>+</sup>

\* Масс-спектры соединений (VI, VII, IX, XXI–XXIV) получены бомбардировкой ускоренными атомами Xg, а соединения (VIII) — ионами Cs<sup>+</sup>.

восстанавливаются боргидридом или цианоборгидридом натрия труднее, чем даунорубицин и его аналоги [6].

Как видно из схемы к таблице, распад псевдомолекулярных ионов ( $M+2H$ )<sup>+</sup> протекает путем разрыва C7—O-связи с образованием иона A<sup>+</sup>, характеризующего агликоновую часть молекулы. Ион A<sup>+</sup> далее распадается, элиминируя заместители от C9 в виде H<sub>2</sub>O и HR, образуя ион B<sup>+</sup> с  $m/z$  307 в случае производного (R = COCH<sub>3</sub>) карминомицина (VI), и  $m/z$  321 в случае производного даунорубицина (VII) (рис. 1 и 2). Распад остальных соединений (R = CHONCH<sub>3</sub> или COCH<sub>2</sub>OH) (VIII, IX, XXI–XXIV) протекает по аналогичной схеме.

Изучение противоопухолевой активности в эксперименте на животных полученных соединений (VI, VII, XXII–XXIV) не выявило преимуществ перед исходными антибиотиками (I) и (II).

### Экспериментальная часть

Полученные соединения изучали методом ТСХ на пластинках с силикагелем G-60 (Merck) с толщиной слоя 0,2 мм в смесях растворителей: хлороформ — бензол — метанол, 10 : 1 : 1 (A), хлороформ — метанол — вода, 13 : 6 : 1 (B), хлороформ — метанол — муравьиная кислота, 40 : 10 : 1 (B). Перед хроматографированием в смесях А и Б пластинку выдерживали после нанесения вещества в парах аммиака 10 с. Для препаративной очистки использовали колоночную хроматографию на силикагеле G-60 (Merck) с размером частиц 230—400 меш, элюируя смесью А для ТСХ. ИК-спектры снимали в таблетке КBr на спектрометре Pye-Unicam (Великобритания). Масс-спектры получали на приборах MS-50TC (Kratos, Великобритания) и MAT-44 (ФРГ) методом бомбардировки по-

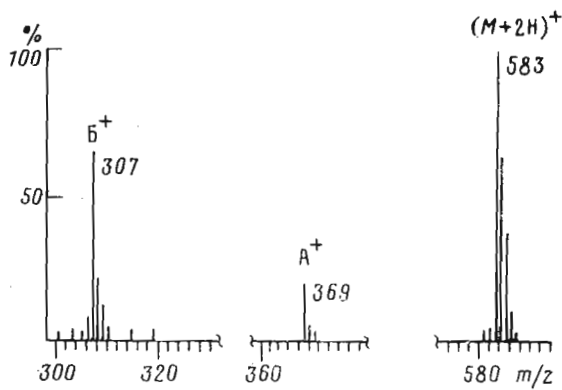


Рис. 1. Масс-спектр (БУА) 3'-дезамино-3'-пиперидинокарминомицина (VI)

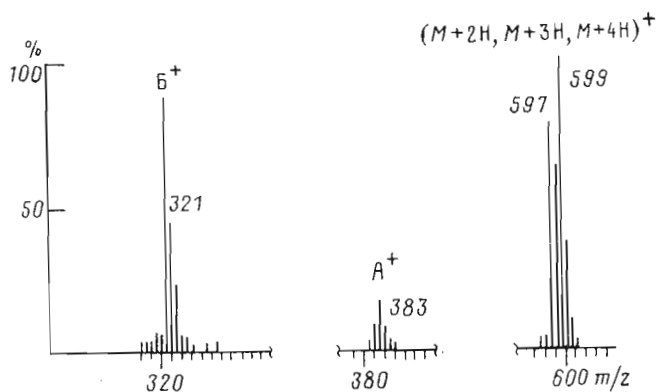


Рис. 2. Масс-спектр (БУА) 3'-дезамино-3'-пиперидинодаунорубицина (VII)

мещенных в глицериновую матрицу веществ ускоренными атомами (БУА): в первом случае Xe с энергией 8 кэВ, во втором — Cs<sup>+</sup> с энергией 20 кэВ.

*3'-Дезамино-3'-пиперидинокарминомицин (VI) и 3'-дезамино-3'-пиперидино-(13-R,S)-дигидрокарминомицин (VIII).* К 550 мг (1,00 ммоль) гидрохлорида карминомицина (I) ( $R_f$  0,17(А) и 0,60 (Б)) в 30 мл смеси вода — ацетонитрил (2 : 1) добавляли 6 мл (15,00 ммоль) 25% водного раствора глутарового диальдегида, 63 мг (1,00 ммоль) цианоборгидрида натрия и перемешивали 20 мин при 15° С. Затем добавляли 35 мл 5% раствора бикарбоната натрия и экстрагировали хлороформом. Органические слои объединяли, промывали водой, высушивали Na<sub>2</sub>SO<sub>4</sub>, отфильтровывали и упаривали в вакууме. Остаток очищали колоночной хроматографией. Фракции, содержащие соединение с  $R_f$  0,42 (А), 0,86 (Б), объединяли и упаривали досуха. Выход (VI) 360 мг (58%). Для получения гидрохлорида (VI) вещество растворяли в минимальном объеме метанола, добавляли 1,2 мл 0,5 н. раствора HCl в метаноле и целевой гидрохлорид (VI) осаждали сухим диэтиловым эфиром. Выход гидрохлорида (VI) 320 мг. Т. пл. 180—182° С (разл.). ИК-спектр, см<sup>-1</sup>: 1720 (COCH<sub>3</sub>), 1610 (CO хинона). Найдено, %: N 2,26; Cl 5,71. C<sub>31</sub>H<sub>35</sub>NO<sub>10</sub>·HCl. Вычислено, %: N 2,27; Cl 5,73.

Фракции, содержащие соединение с  $R_f$  0,37 (А), 0,53 (Б), объединяли и упаривали в вакууме досуха. Выход (VIII) 24 мг (4%). Т. пл. 181—184° С (разл.). ИК-спектр, см<sup>-1</sup>: 1610 (CO хинона).

*3'-Дезамино-3'-пиперидинодаунорубицин (VII) и 3'-дезамино-3'-пиперидино-(13-R,S)-дигидродаунорубицин (IX).* Соединения получены аналогично производным (VI) и (VIII), исходя из гидрохлорида даунорубицина (II), время реакции 10 мин. Выход гидрохлорида (VII) 52%. Т. пл. 186—189° С (разл.). ИК-спектр, см<sup>-1</sup>: 1720 (COCH<sub>3</sub>), 1625 и 1590 (CO хинона).

хиона). Найдено, %: N 2,52; Cl 5,08.  $C_{32}H_{37}NO_{10} \cdot HCl$ . Вычислено, %: N 2,22; Cl 5,61.  $R_f$  0,40 (A); 0,85 (B).

Выход гидрохлорида (IX) 10%. Т. пл. 142–145° С (разл.). ИК-спектр,  $\text{см}^{-1}$ : 1620 и 1580 (СО хиона). Найдено, %: N 2,38, Cl 5,60.  $C_{32}H_{39}NO_{10} \cdot HCl$ . Вычислено, %: N 2,28; Cl 5,63.  $R_f$  0,35 (A); 0,52 (B).

*3'-Дезамино-3'-пиперидино-13-диметилкеталь 14-бромкарминомицина (XIII)*. К 130 мг (0,20 ммоль) 13-диметилкетала 14-бромкарминомицина (X) ( $R_f$  0,42 (B)) добавляли 2 мл смеси диоксан — метанол (1 : 1), 0,5 мл 25% водного раствора глутарового диальдегида (V), 1 мл ацетонитрила, 13 мг (0,20 ммоль) цианоборгидрида натрия и перемешивали реакционную смесь 5 мин при 20° С. Затем добавляли 10 мл воды и экстрагировали хлороформом (5 × 5 мл). Хлороформные слои объединяли, промывали водой, высушивали  $Na_2SO_4$ , отфильтровывали и упаривали в вакууме досуха. Получали 130 мг (90%) аморфного соединения (XIII).  $R_f$  0,61 (B). ИК-спектр,  $\text{см}^{-1}$ : 1606 (СО хиона).

*3'-Дезамино-3'-пиперидино-14-бромкарминомицин (XVII)*. К 130 мг (0,18 ммоль) 3'-дезамино-3'-пиперидино-13-диметилкетала 14-бромкарминомицина (XIII) добавляли 10 мл смеси метанол — диоксан (1 : 1), 10 мл 0,2 н. водного раствора HBr и выдерживали 5 ч при 37° С. Затем реакционную смесь экстрагировали хлороформом (3 × 5 мл) (удаление агликонов) и *n*-бутианолом (5 × 5 мл). Органические слои объединяли, упаривали в вакууме до объема 2 мл и добавляли избыток сухого диэтилового эфира. Полученный осадок отфильтровывали и высушивали в вакууме. Выход аморфного гидробромида (XVII) 104 мг (75%).  $R_f$  0,59 (B). ИК-спектр: 1740 ( $COCH_2Br$ ); 1608 (СО хиона).

*3'-Дезамино-3'-пиперидино-14-гидроксикарминомицин (XXI)*. К 104 мг (0,13 ммоль) 3'-дезамино-3'-пиперидино-14-бромкарминомицина, гидробромида (XVII), добавляли 10 мл смеси метанол — диоксан (1 : 1), 10 мл 0,1 н. водного раствора HBr и 4 мл 10% раствора формиата натрия (рН ~ 6) и выдерживали 30 ч при 40° С, затем добавляли 20 мл воды и экстрагировали хлороформом (3 × 8 мл). Органические слои объединяли, экстрагировали 0,01 н. водным раствором HCl (2 × 8 мл) и экстракт присоединяли к водному слою, который подщелачивали добавлением 10 мл 10% раствора  $NaHCO_3$  и экстрагировали хлороформом (5 × 10 мл). Органические слои объединяли, высушивали  $Na_2SO_4$ , упаривали в вакууме. Полученный остаток очищали на колонке с силикагелем, используя систему (A). Фракции, содержащие соединение (XXI), упаривали в вакууме до объема 3 мл, добавляли эквивалентное количество 0,5 н. раствора сухого HCl в метаноле и осаждали избытком сухого диэтилового эфира. Выход гидрохлорида (XXI) 60 мг (70% в расчете на (XVII) и 46% в расчете на (X)). Т. пл. 226–227° С (разл.). ИК-спектр,  $\text{см}^{-1}$ : 1730 ( $COCH_2OH$ ); 1610 (СО хиона). Найдено, %: 2,40; Cl 5,42.  $C_{31}H_{35}NO_{11} \cdot HCl$ . Вычислено, %: N 2,21; Cl 5,59.  $R_f$  0,36 (A), 0,54 (B), 0,32 (B).

*3'-Дезамино-3'-пиперидино-13-диметилкеталь 14-бромдаунорубицина (XV)* получали аналогично соединению (XIII), исходя из (XI). Выход аморфного (XV) 92%. ИК-спектр,  $\text{см}^{-1}$ : 1620 и 1585 (СО хиона).  $R_f$  0,60 (B).

*3'-Дезамино-3'-пиперидино-14-бромдаунорубицин, гидробромид (XIX)*, получали аналогично (XVII), исходя из (XV), с выходом 75%. ИК-спектр,  $\text{см}^{-1}$ : 1742 ( $COCH_2Br$ ); 1620 и 1584 (СО хиона).  $R_f$  0,57 (B).

*3'-Дезамино-3'-пиперидинодоксорубицин (XXIII)* получали аналогично (XXI), исходя из (XVIII), с выходом 71% в расчете на (XIX) и 49% в расчете на (XI). Т. пл. 192–194° С (разл.). ИК-спектр,  $\text{см}^{-1}$ : 1730 ( $COCH_2OH$ ); 1622 и 1587 (СО хиона). Найдено, %: N 2,25; Cl 5,50.  $C_{32}H_{37}NO_{11} \cdot HCl$ . Вычислено, %: N 2,16; Cl 5,47.  $R_f$  0,34 (A), 0,52 (B), 0,29 (B).

*3'-Дезамино-3'-морфолино-13-диметилкеталь, 14-бромкарминомицина (XIV)* получали аналогично (XIII), исходя из (X) и 25% водного раствора гликолового диальдегида (XII). Выход аморфного (XIV) 86%. ИК-спектр,  $\text{см}^{-1}$ : 1605 (СО хиона).  $R_f$  0,63 (B).

*3'-Дезамино-3'-морфолино-14-бромкарминомицин,*

*гидробромид*

(XVIII), получали аналогично (XVII), исходя из (XIV), с выходом 74%. ИК-спектр, см<sup>-1</sup>: 1739 (COCH<sub>2</sub>Br); 1610 (CO хинона). R<sub>f</sub> 0,58 (B).

3'-Дезамино-3'-морфолино-14-гидроксикарминомицин, гидрохлорид (XXII), получали аналогично (XXI), исходя из (XVIII), с выходом 60% и 38%, исходя из (X). Т. пл. 185—186° С (разл.). ИК-спектр, см<sup>-1</sup>: 1732 (COCH<sub>2</sub>OH); 1612 (CO хинона). Найдено, %: N 2,39; Cl 4,68. C<sub>30</sub>H<sub>33</sub>NO<sub>12</sub>·HCl. Вычислено, %: N 2,20; Cl 5,57. R<sub>f</sub> 0,35 (A), 0,54 (B), 0,33 (B).

3'-Дезамино-3'-морфолино-13-диметилкеталь 14-бромдаунорубицина (XVI) получали аналогично (XIII), исходя из (XI) и 25% водного раствора гликолевого диалльдегида (XII), с выходом 88%. ИК-спектр, см<sup>-1</sup>: 1610 и 1582 (CO хинона). R<sub>f</sub> 0,61 (B).

3'-Дезамино-3'-морфолино-14-бромдаунорубицин, гидробромид (XX), получали аналогично (XVII), исходя из (XVI), с выходом 70%. ИК-спектр, см<sup>-1</sup>: 1738 (COCH<sub>2</sub>Br); 1612 и 1584 (CO хинона). R<sub>f</sub> 0,56 (B).

3'-Дезамино-3'-морфолино-14-доксорубицин, гидрохлорид (XXIV), получали аналогично (XXI), исходя из (XX), с выходом 65% в расчете на (XX) и 40% в расчете на (XI). Т. пл. 177—178° С (разл.). ИК-спектр, см<sup>-1</sup>: 1735 (COCH<sub>2</sub>OH); 1610 и 1586 (CO хинона). Найдено, %: N 2,30; Cl 5,00. C<sub>31</sub>H<sub>35</sub>NO<sub>12</sub>·HCl. Вычислено, %: N 2,15; Cl 5,46. R<sub>f</sub> 0,32 (A), 0,51 (B), 0,25 (B).

#### СПИСОК ЛИТЕРАТУРЫ

- Поваров Л. С., Бажанов В. С., Васекина В. Ф. // Антибиотики. 1977. Т. 22. С. 693—695.
- Противоопухолевая химиотерапия / Ред. Переводчикова Н. И. М.: Медицина, 1986.
- Tong G. L., Wu H. Y., Smith T. H., Henri D. W. // J. Med. Chem. 1979. V. 22. P. 912—916.
- Acton E. M. // Cancer Bull. 1985. V. 37. P. 173—179.
- Mosher C. W., Wu H. Y., Fujiwara A. N., Acton E. M. // J. Med. Chem. 1982. V. 25. P. 18—24.
- Олсуфьева Е. Н., Поваров Л. С., Потапова Н. П. // Антибиотики. 1982. Т. 27. С. 732—737.
- Олсуфьева Е. Н., Тодорова Н. П., Ярцева И. В., Розынов Б. В., Преображенская М. Н. // Биоорган. химия. 1989. Т. 15. № 11. С. 1569—1572.
- Поваров Л. С., Исаева Н. Н., Рубашева Л. М., Олсуфьева Е. Н. // Журн. органической химии. 1979. Т. 15. С. 1560—1561.
- Arcamone F. // «Doxorubicin» Anticancer Antibiotics. 1981. V. 17. АР.
- Олсуфьева Е. Н., Александрова Л. Г., Розынов Б. В., Потапова Н. П., Рубашева Л. М., Поваров Л. С. // Антибиотики и химиотерапия. 1988. Т. 33. С. 729.
- Acton E. M., Tong G. L., Mosher C. W., Wolgemuth R. L. // J. Med. Chem. 1984. V. 27. P. 638—645.
- Takahashi Y., Kinoshita M., Masuda T., Tatsuda K., Takeuchi T., Umezawa H. // J. Antibiotics. 1982. V. 35. P. 117—120.
- Патент Бельгии 731398.
- Gioia B., Arlandini E., Vigevani A. // Biomed. Mass Spectrom. 1984. V. 11. P. 35—40.
- Dass G., Seshadri R., Israel M., Desiderio D. M. // Biomed. Environ. Mass Spectrom. 1988. V. 17. P. 37—45.

Поступила в редакцию 29.V.1989

E. N. OLSUFYEVA, B. V. ROZYNOV \*

#### SYNTHESIS AND MASS SPECTROMETRY EVALUATION OF N-CYCLOALKYL DERIVATIVES OF CARMINOMYCIN, DAUNORUBICIN AND THEIR ANALOGUES

Institute of New Antibiotics, Academy of Medical Sciences of the USSR, Moscow;

\* M. M. Shemyakin Institute of Bioorganic Chemistry, Academy of Sciences  
of the USSR, Moscow

Condensation of carminomycin or daunorubicin with glutaric dialdehyde in the presence of NaBH<sub>3</sub>CN yielded 3'-deamino-3'-piperidinocarminomycin or 3'-deamino-3'-piperidinodaunorubicin and corresponding (13-R, S)-dihydroderivatives. To prepare similar derivatives of 14-hydroxycarminomycin or doxorubicin, 13-dimethylketals of 14-bromocarminomycin or 13-bromodaunorubicin were used in the reaction of reductive alkylation with glutaric or glycolic dialdehyde to give 3'-deamino-3'-piperidino- or 3'-deamino-3'-morpholino derivatives of 13-dimethylketals of 14-bromocarminomycin or daunorubicin, respectively. After deblocking and subsequent hydrolysis of these compounds 3'-deamino-3'-piperidino- and 3'-deamino-3'-morpholino derivatives of 13-hydroxycarminomycin or doxorubicin were prepared. Reduction of the antibiotic derivatives under mass spectrometry conditions was demonstrated.